

Поэтому при  $\tau > \tau_{kp}$  дальнейшее пребывание сетки в глобулярном состоянии становится невыгодным, и она резко расширяется вдоль осей  $Ox$  и  $Oy$ , уменьшая тем самым упругую энергию сжатия вдоль этих осей. При этом изменяются и упругие свойства сетки вдоль оси  $Oz$ , что и вызывает скачок  $\sigma$ . Средняя концентрация числа мономеров в сетке после скачка уменьшается до весьма малого (клубкового) значения. Следовательно, исследуемую особенность зависимости  $\tau(\sigma)$  можно рассматривать как специальный случай проявления перехода глобула — клубок в полимерной сетке, индуцированного растяжением образца сетки.

В заключение сделаем несколько замечаний относительно экспериментальных условий, необходимых для наблюдения предсказываемого в настоящей работе эффекта. 1. Скачок на зависимости  $\tau(\sigma)$  получается только для сеток второго типа. Проделав вычисления данной статьи для значения  $n_0$ , соответствующего сухой сетке (т. е. для сетки первого типа), легко убедиться, что в этом случае рассматриваемый скачок не может иметь места при разумных значениях параметров. 2. Скачок можно наблюдать только при медленном растяжении сетки. При быстрой деформации равновесие между молекулами растворителя, находящимися в пределах сетки и вне ее, не успевает установиться, так что объем сетки остается постоянным  $\alpha^2\sigma = \text{const}$  и зависимость  $\tau(\sigma)$  не имеет особенностей. 3. Из рисунка, б—г видно, что скачок происходит при тем больших значениях  $\sigma$ , чем больше  $|x|$  (т. е. чем меньше  $T$ ). Поскольку очень большие значения  $\sigma$  для реальных сеток не могут быть реализованы, то наиболее разумно попытаться наблюдать предсказываемый эффект при достаточно малых  $|x|$ , т. е. лишь ненамного ниже  $\theta$ -температуры (рисунок). 4. Скачок величины  $\alpha$  является, как правило, более выраженным, чем скачок  $\sigma$  (например, для выбора параметров рисунка величина  $\sigma$  изменяется при скачке на 15—20%, а величина  $\alpha^2$  в несколько раз). Поэтому при попытке наблюдения эффекта имеет смысл измерять в первую очередь поперечные размеры образца.

Автор благодарен И. М. Лифшицу за полезные обсуждения.

Московский государственный университет  
им. М. В. Ломоносова

Поступила в редакцию  
4 X 1979

#### ЛИТЕРАТУРА

1. J. E. Herz, P. Rempp, W. Borchard, *Advances Polymer Sci.*, **26**, 105, 1978.
2. P. Rempp, J. E. Herz, *Angew. Makromolek. Chem.*, **76/77**, 373, 1979.
3. A. Belkebir-Mrani, J. E. Herz, P. Rempp, *Makromolek. Chem.*, **178**, 485, 1977.
4. A. Belkebir-Mrani, G. Beinert, J. Herz, P. Rempp, *Europ. Polymer J.*, **13**, 277, 1977.
5. A. R. Khokhlov, *Polymer*, **21**, 376, 1980.
6. P. J. Flory, *Principles of Polymer Chemistry*, N. Y., 1953.
7. A. R. Khokhlov, *Polymer*, **19**, 1387, 1978.
8. И. М. Лифшиц, А. Ю. Гросберг, А. Р. Хохлов, Успехи физ. наук, **127**, 353, 1979.

УДК 541.64:539.2

#### ПОЛИ-(АЛКИЛЕН-*n*-ФЕНИЛЕН)ДИ-*n*-ОКСИБЕНЗОАТЫ — ПОЛИМЕРНЫЕ НЕМАТИКИ

**Билибин А. Ю., Шепелевский А. А., Френкель С. Я.,  
Скорогодов С. С.**

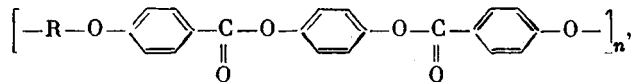
В последние годы значительно повысился интерес к синтезу и исследованию термотропных полимерных нематиков. С увеличением числа экспериментальных работ, посвященных этому вопросу, стало возможным сформулировать некоторые общие положения о роли главных структур-

ных элементов таких полимеров — мезогенной группы, определяющей анизотропные свойства расплава полимера и гибкой «развязки», призванной обеспечить достаточную свободу мезогенных групп.

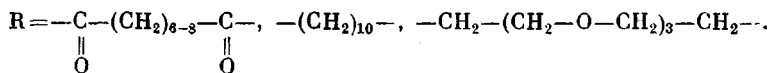
Если для полимеров, в которых мезогенная группа фиксирована одним концом (т. е. находится в боковых цепях полимера), в настоящее время накоплено большое количество экспериментального материала, позволяющее делать вполне определенные заключения о влиянии структуры мезогенной группы и развязки, длины и гибкости развязки на температуры фазовых переходов полимера и даже на тип образующейся мезофазы [1, 2], то для полимеров, в которых мезогенная группа фиксирована с двух концов, т. е. находится в основной цепи полимера, такого рода суждения носят, в значительной степени, умозрительный характер [3, 4]. Сводятся они к тому, что полимеры, в основной цепи которых жесткие мезогенные фрагменты чередуются с гибкоцепными развязками, должны образовывать мезоморфные расплавы, подобные расплавам низкомолекулярных нематиков.

Пока известен только один тип полимеров, в полной мере соответствующий концепции чередующихся мезогенных групп и гибких развязок. Это поли-(4,4'-алканоат- $\alpha,\alpha'$ -диметил)бензализины, описанные Ровиелло и Сиригу [5]. С позиции этой концепции можно рассматривать и полиэфиры, описанные в статье Джексона [6], а также полиэфиры, описанные в патентах фирмы «Дюпон» [7, 8]. Эти нематогенные полиэфиры являются сырьем для получения сверхпрочных высокомодульных волокон и поэтому представляют значительный интерес [9]. Однако нерегулярность этих полимеров не позволяет делать однозначные выводы о влиянии структуры и состава на их мезоморфные свойства. Кроме того, из-за высокого содержания ароматических звеньев температура их плавления близка к температуре термического разложения.

Нами синтезированы регулярные алкилен-ароматические полиэфиры общей формулы

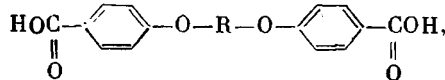


где



*n*-Фенилен-ди-*n*-оксибензоатная структура, использованная в качестве мезогенного звена этих полимеров, широко применяется при конструировании низкомолекулярных нематиков сложноэфирного типа. Для этих нематиков достаточно хорошо установлены корреляции между структурой и температурами фазовых переходов [10, 11].

Синтез полимеров осуществляли двустадийной конденсацией, сначала были получены мономеры — алкилен-ди-*n*-оксибензойные кислоты общей формулы



где  $R = -C(=O)-(CH_2)_m-C(=O)$  ( $m = 4, 6, 7, 8$ ),  $-(CH_2)_{10}-$ ,  $-CH_2-(CH_2-O-CH_2)_3-CH_2-$

и их дихлорангидриды.

Полимеры были получены на второй стадии поликонденсацией дихлорангидридов алкилен-ди-*n*-оксибензойных кислот с гидрохиноном. Такая последовательность стадий поликонденсации представляется более

целесообразной, чем альтернативная с синтезом на первой стадии *n*-фенилен-ди-*n*-гидроксибензоата и его конденсацией с дихлорангидридами алифатических дикарбоновых кислот по двум причинам: во-первых, синтез этого бис-фенола чрезвычайно трудоемок [11], во-вторых, *n*-фенилен-ди-*n*-гидроксибензоат сам образует анизотропные расплавы и наличие его следов в полимере может исказить свойства расплава полимера. При синтезе полимеров предлагаемым путем мезогенный фрагмент образуется на последней стадии синтеза и поэтому образование нематического расплава не может быть отнесено к наличию примеси мономера.

Полимеры были получены поликонденсацией соответствующих дихлорангидридов с гидрохиноном в *o*-дихлорбензоле с пиридином в качестве акцептора хлористого водорода (способ А) и высокотемпературной безакцепторной поликонденсацией в дифенилоксиде (способ Б) (таблица).

Из таблицы видно, что полимеры 2–6 оказались высокомолекуляр-

Свойства полученных полимеров

Образец *, №	R	Выход	$[\eta]_{\text{dil}}$ **	Температуры переходов	
				$T_{K \rightarrow N}^{\circ}$	$T_{N \rightarrow I}^{\circ}$ ***
1	$\begin{array}{c} -C-(CH_2)_4-C- \\    \quad    \\ O \quad O \end{array}$	82%	н. р.	Разлагается до т. пл.	
2	$\begin{array}{c} -C-(CH_2)_6-C- \\    \quad    \\ O \quad O \end{array}$	90%	0,44	275–285	****
3	$\begin{array}{c} -C-(CH_2)_7-C- \\    \quad    \\ O \quad O \end{array}$	95%	0,40	230–240	****
4	$\begin{array}{c} -C-(CH_2)_8-C- \\    \quad    \\ O \quad O \end{array}$	87%	0,40	245–260	****
5	$-(CH_2)_{10}-$	76%	0,25	210–220	255–275
6	$-CH_2-(CH_2-O-CH_2)_3-CH_2-$	75%	0,20	185–195	200–210

\* Все образцы полимеров были получены по способу А, за исключением полимера 3 (способ Б).

\*\* Вязкость полимеров измеряли в растворе симм-тетрахлорэтана при 25°.

\*\*\* K — твердый кристалл, N — нематический расплав, I — изотропный расплав.

\*\*\*\* Нематический расплав полимеров сохраняется до температуры их термического разложения.

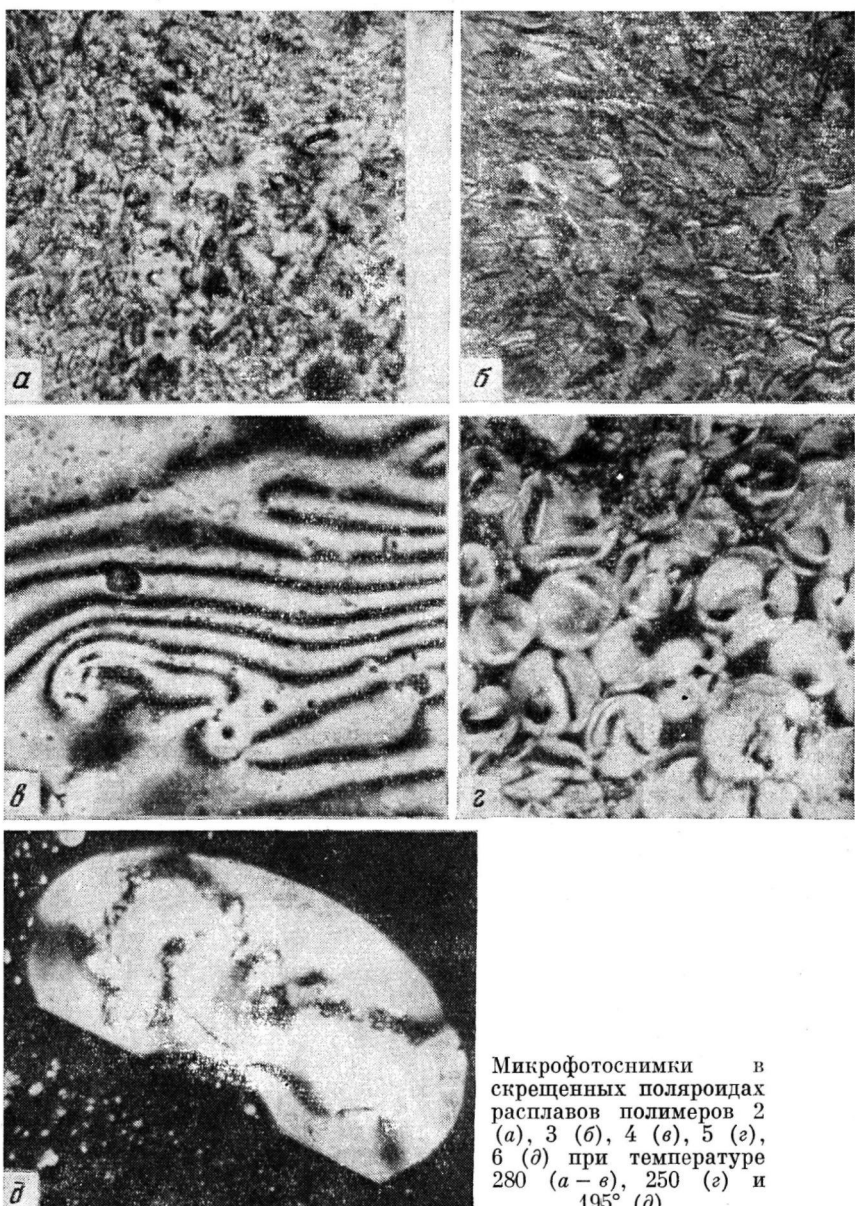
ными термотропными нематиками. Иными словами, температура плавления полимеров может быть достигнута в температурном интервале их термической стабильности лишь при достаточно большой величине гибкоцепного фрагмента (шесть и более метиленовых групп). Следует отметить, что данные о типе мезофазы являются предварительными и нельзя исключить возможность проявления этими полимерами других типов мезоморфизма.

Нематическое состояние полимеров констатировалось термооптическими методами. На рисунке представлены микрофотоснимки расплавов полимеров в скрещенных поляризаторах. Структура полимеров подтверждена ИК-спектрами.

Таким образом, нами синтезирован ряд термотропных нематогенов, поли-(*n*-фенилен-алкилен-ди-*n*-оксибензоатов), имеющих различные температуры фазовых переходов и интервалы существования мезофазы, и получены первичные данные о влиянии длины и структуры гибкоцепной связки на эти характеристики. Сопоставление структур полимеров и их температур фазовых переходов с таковыми для низкомолекулярных сложноэфирных аналогов показывает, что они подчиняются тем же закономерностям. С увеличением длины и подвижности алифатической (или оксиалифатической) части снижаются температуры плавления полимеров и сужается интервал существования мезофазы.

Использовали *n*-оксибензойную кислоту квалификации «чистая» и дополнитель-но очищенную кристаллизацией из воды. Гидрохинон использовали квалификации «чистый» и дополнительно очищенный кристаллизацией из толуола с добавкой ней-тральной окиси алюминия.

Микрофотоснимки расплавов полимеров были получены на микроскопе МИН-8, оборудованном фотонасадкой и нагревательной приставкой. ИК-спектры получены на приборе UR-20.



Микрофотоснимки в скрещенных поляризаторах расплавов полимеров 2 (a), 3 (b), 4 (c), 5 (e), 6 (d) при температуре 280 (a - e), 250 (e) и 195° (d)

Способ А. Поликонденсация дихлорангидрида суберил-ди-*n*-оксибензойной кислоты с гидрохиноном с акцептором хлористого водорода. В 100 мл *o*-дихлорбензола растворяли 1,1 г гидрохинона при перемешивании в токе аргона и нагревании до 100°, добавляли 4,5 г дихлорангидрида суберил-ди-*n*-оксибензойной кислоты и затем прикашивали 5,0 мл пиридина; перемешивание при этой температуре продолжали 2 час. По охлаждении выпавший осадок полимера отфильтровывали, промывали спиртом, диэтиловым эфиром и сушили в вакууме до постоянного веса. Выход 90%.

Полимер плохо растворим в симм-тетрахлорэтане (менее 2%) и хорошо в три-фторуксусной кислоте, но вязкость раствора в трифторуксусной кислоте снижается

на 10% за 1 час при комнатной температуре. Вязкость всех полимеров измеряли в сим-тетрахлорэтане, растворя образцы при нагревании до 100°,  $[\eta]=0,44$  дL/g (25°), остальные полимеры были получены по аналогичной методике.

Способ Б. Высокотемпературная безакцепторная поликонденсация дихлорангидрида азелаил-ди-*n*-оксибензойной кислоты с гидрохиноном.

В пробирку для поликонденсации помещали 100 мл дифенилоксида 1,1 г гидрохинона и 4,7 г дихлорангидрида азелаил-ди-*n*-оксибензойной кислоты и в течение 15 мин суспензию продували аргоном при 30°. Затем, не прекращая тока аргона, помещали пробирку в баню со сплавом Вуда, нагретым до 200°, и нагревали в течение 2 час при этой температуре. По охлаждении смесь разбавляли 100 мл петролейного эфира, осадок полимера отфильтровывали, промывали спиртом, эфиром и высушивали в вакууме до постоянного веса. Выход 95%,  $[\eta]=0,40$  дL/g в тетрахлорэтане, 25°.

Институт  
высокомолекулярных соединений  
АН СССР

Поступила в редакцию  
10 X 1979

#### ЛИТЕРАТУРА

1. В. П. Шибаев, Н. А. Платэ, Высокомолек. соед., A19, 923, 1977.
2. H. Finkelmann, H. Ringsdorf, W. Siol., J. H. Wendorff, Makromolek. Chem., 179, 829, 1979.
3. J. H. Wendorff, H. Finkelmann, H. Ringsdorf, J. Polymer Sci., Polymer Symp. Ed., 63, 245, 1978.
4. Ю. Б. Америк, И. И. Константинов, В кн. Химия и технология высокомолекулярных соединений, т. 12, ВИННИТИ, 1978, стр. 177.
5. A. Rovello, A. Sirigu, Europ. Polymer J., 15, 61, 1979.
6. W. Y. Jackson, H. F. Kuhfuss, J. Polymer Sci., Polymer Chem. Ed., 14, 2043, 1976.
7. Пат. США 3991014, 1976.
8. Пат. США 3991013, 1976.
9. Г. И. Кудрявцев, Т. И. Шейн, Химич. волокна, 1978, № 2, 5.
10. M. J. S. Dewar, R. S. Goldberg, J. Amer. Chem. Soc., 92, 1582, 1970.
11. D. C. Schroeder, J. P. Schroeder, J. Amer. Chem. Soc., 96, 4347, 1974.

УДК 541.64:539.2

#### ФУНКЦИЯ РАСПРЕДЕЛЕНИЯ ЛИНЕЙНЫХ РАЗМЕРОВ КРИСТАЛЛИТОВ ПРИ КРИСТАЛЛИЗАЦИИ В ТРЕХМЕРНОМ ПРОСТРАНСТВЕ

Танцюра Т. П., Доценко И. С., Скрышевский А. Ф.

Механические и теплофизические свойства полимерных материалов в значительной мере определены их фазовым состоянием и надмолекулярной структурой [1–3]. Дальнейшее развитие технологии производства различных изделий из полимеров требует глубокого понимания сущности процессов, управляющих формированием их структуры. Для кристаллизующихся полимеров кристаллизация — самый распространенный процесс, формирующий размеры, форму и степень совершенства кристаллических образований. Существенно важным параметром структуры в ряде случаев является распределение кристаллитов по размерам, которое в значительной мере предопределяет характер структуры, получаемой при последующих технологических операциях, таких, как отжиг, термоориентационная вытяжка и др. [4].

В связи с этим определение функции распределения кристаллитов по размерам в частично-кристаллических материалах — актуальная задача физики полимеров.

Рассмотрим процесс кристаллизации в некотором объеме  $V_0$ . Предположим, что число центров кристаллизации, образующихся за бесконечно малый промежуток времени  $dt$ , пропорционально объему жидкой фазы в